

УДК 539.374.001

Я.Д. ЛИПАТНИКОВА^{1,2}, Ю.В. СОЛОВЬЕВА¹, А.Н. СОЛОВЬЕВ¹, Л.А. ВАЛУЙСКАЯ³

МОДЕЛИРОВАНИЕ ВЫСОКОТЕМПЕРАТУРНОЙ ПЛАСТИЧЕСКОЙ ДЕФОРМАЦИИ СЛОИСТЫХ КОМПОЗИТОВ НА ОСНОВЕ СПЛАВОВ СО СВЕРХСТРУКТУРОЙ $L1_2$ *

Методом математического моделирования исследовалась макролокализация пластической деформации и, в частности, возможность формирования полос суперлокализации в слоистых композитах при высокотемпературной одноосной деформации. Моделирование основано на объединении методов механики сплошной среды и дислокационной кинетики сплавов со сверхструктурой $L1_2$. Численная реализация моделирования проведена методом конечных элементов.

Ключевые слова: слоистые композиты, макролокализация пластической деформации, моделирование, сплавы со сверхструктурой $L1_2$.

Введение

Композиционные материалы, у которых входящие элементы выполнены в виде слоев, составляют большой класс практически востребованных материалов. Особое внимание в настоящее время уделяется созданию слоистых композитов (ламинатов) типа металл – интерметаллид [1–3]. Высокая прочность и жесткость такого композита достигается за счет интерметаллидного слоя, пластичность – за счет металлического слоя. Известно, что при высокотемпературной деформации монокристаллов однофазных интерметаллидов наблюдается процесс суперлокализации пластической деформации [4], при котором видно деформационное расслоение кристаллов на локальные зоны интенсивного сдвигообразования внутри практически недеформируемой матрицы.

В настоящей работе ставится задача моделирования высокотемпературной пластической деформации слоистых композитов металл – интерметаллид, у которых плоскости слоев параллельны и перпендикулярны оси нагружения. Моделируется ситуация, когда в интерметаллидных слоях возможно возникновение суперлокализации, а в металлических слоях деформация протекает однородно.

Моделирование пластического поведения слоистых композитов

Для построения модели суперлокализации использовался многоуровневый подход с привлечением методов моделирования в терминах механики сплошных сред и дислокационной кинетики сплавов со сверхструктурой $L1_2$.

Для моделирования слоистого композита образец представлялся из двух видов вертикальных и горизонтальных пластин, каждый из которых описывался своей системой уравнений кинетики накопления деформационных дефектов.

Модель дислокационной кинетики сплавов со сверхструктурой $L1_2$ основана на концепции упрочнения и отдыха и включает уравнения баланса дислокаций разного типа, дислокационных стенок и уравнение, описывающее сопротивление деформированию:

$$\frac{d\rho}{d\varepsilon} = C_1 \frac{(\alpha Gb)^2 \rho}{\tau} \omega + \frac{C_2 e^{-U_1/kT} + C_3 e^{-U_2/kT}}{Gb \rho^{1/2}} - \frac{1}{\dot{\varepsilon}} A \frac{\rho^2}{\tau} - \frac{1}{\dot{\varepsilon}} R \rho N + \xi \frac{N}{\Delta h},$$

$$\frac{dN}{d\varepsilon} = I \rho N - \xi N,$$

$$\tau = \tau_f^0 + \gamma_1 \tau_0^{(1)} \exp(-U_1/kT) + \gamma_2 \tau_0^{(2)} \exp(-U_2/kT) + (\alpha_0 - \beta T) Gb \rho^{1/2} + \frac{GbN}{4\pi} \lg\left(\frac{1}{Nb}\right).$$

Модель дислокационной кинетики для чистых металлов имеет вид

* Работа выполнена при финансовой поддержке РФФИ (проекты № 16-32-00139 мол_а и 16-03-00182-а).

$$\frac{d\rho}{d\varepsilon} = C_1 \frac{(\alpha G b)^2 \rho}{\tau} \omega - \frac{1}{\dot{\varepsilon}} A \frac{\rho^2}{\tau} - \frac{1}{\dot{\varepsilon}} R \rho N + \xi \frac{N}{\Delta h},$$

$$\frac{dN}{d\varepsilon} = I \rho N - \xi N, \quad \tau = \tau_f^0 + (\alpha_0 - \beta T) G b \rho^{1/2} + \frac{G b N}{4\pi} \lg\left(\frac{1}{N b}\right),$$

где ρ – плотность дислокаций; ε – величина относительной пластической деформации; $\dot{\varepsilon}$ – скорость пластической деформации; C_1, C_2, C_3 – коэффициенты модели; ω – доля краевых дислокаций в общей плотности дислокаций; G – модуль сдвига; b – модуль вектора Бюргерса; τ – деформирующее напряжение; U_1, U_2 – энергии активации самоблокировки винтовых и краевых компонентов сверхдислокационных петель; γ_1, γ_2 – весовые коэффициенты; $\tau_0^{(1)}, \tau_0^{(2)}$ – предэкспоненциальные множители, не зависящие от температуры; N – плотность дислокационных стенок; Δh – среднее расстояние между дислокациями в стенке; I, R, ξ – коэффициенты, контролирующие баланс границ разориентации; A – коэффициент аннигиляции; α – параметр междислокационного взаимодействия; α_0, β – константы, определяемые из экспериментальной зависимости $\alpha(T)$, получаемой для конкретного $L1_2$ -сплава. Подробнее модели описаны в работах [5, 6].

Механическая модель включает универсальные уравнения, описывающие движения сплошных сред: законы сохранения массы, импульсов и энергии, а также определяющие соотношения теории пластического течения и уравнение состояния в форме Ми – Грюнайзена:

$$\frac{d}{dt} \int_V \rho dV = 0, \quad \frac{d}{dt} \int_V \rho \bar{u} dV = \int_{\Sigma} \bar{n} \cdot \hat{\sigma} dS, \quad \frac{d}{dt} \int_V \rho E dV = \int_{\Sigma} \bar{n} \cdot \hat{\sigma} \cdot \bar{u} dS, \quad \hat{e} = \frac{\hat{s}^\nabla}{2\mu} + \lambda \hat{s}, \quad \hat{s} : \hat{s} = \frac{2}{3} \hat{\sigma}_T^2(q),$$

$$p(v, \varepsilon) = \frac{\rho_0 c_0^2 \left(1 - \frac{\varepsilon \gamma_0}{2}\right)}{(1 - \zeta \cdot \varepsilon)^2} \varepsilon + \rho_0 \gamma_0 \varepsilon,$$

где t – время; V – объем интегрирования; Σ – поверхность, ограничивающая объем V ; \bar{n} – единичный вектор внешней нормали к поверхности Σ ; ρ – плотность; $\hat{\sigma} = -p\hat{g} + \hat{s}$ – тензор напряжений, \hat{s} – его девиатор, p – давление, \hat{g} – метрический тензор; \bar{u} – вектор скорости; $E = \varepsilon + \bar{u} \cdot \bar{u}/2$ – удельная полная энергия, ε – удельная внутренняя энергия; $\hat{e} = \hat{d} - (\hat{d} \cdot \hat{g})\hat{g}/3$ – девиатор тензора скоростей деформаций, $\hat{d} = (\nabla \bar{u} + \nabla \bar{u}^T)/2$ – тензор скоростей деформаций; \hat{s}^∇ – объективная мера скорости изменения напряжений; μ – модуль сдвига; σ_T – предел текучести; $\hat{\omega} = (\nabla \bar{u}^T + \nabla \bar{u})/2$ – тензор вихря; q – параметр упрочнения, который принимается равным работе пластической деформации A^P ; $\varepsilon = 1 - V$; c_0 – объемная скорость звука в материале; γ_0 – термодинамический коэффициент Грюнайзена; ζ – коэффициент линейной зависимости скорости ударной волны D от массовой скорости u : $D = c_0 + \zeta u$.

В качестве локального критерия сдвигового разрушения принимается предельная величина интенсивности пластических деформаций

$$e_{и}^* = \frac{\sqrt{2}}{3} \sqrt{3T_2 - T_1^2},$$

где T_1, T_2 – первый и второй инварианты тензора пластических деформаций.

Численная реализация описанной синтетической модели осуществлялась в программном комплексе «РАНЕТ-3» [7] методом конечных элементов [8]. Объединение указанных моделей проведено следующим образом: решения системы уравнений моделей дислокационной кинетики, представленные в виде зависимостей деформация – напряжение, были использованы в модели механики сплошной среды для описания процессов упрочнения и разупрочнения элементарного объема деформируемого образца [9–11]. Полученные зависимости были как монотонно возрастающими, так и немонотонными. Использование немонотонных зависимостей в модели механики при численном моделировании одноосной деформации прямоугольного образца однофазного интерметаллида, учитывающих как процессы упрочнения, так и разупрочнения, позволило описать

формирование полос суперлокализации пластической деформации при одноосном сжатии образца интерметаллида со сверхструктурой $L1_2$ (рис. 1). В результате расчетов, как видно на рис. 1, при высокотемпературной деформации формирование полос суперлокализации начинается при 20–23 % общей деформации по образцу, а при деформации 47 % можно наблюдать развитие нескольких полос суперлокализации.

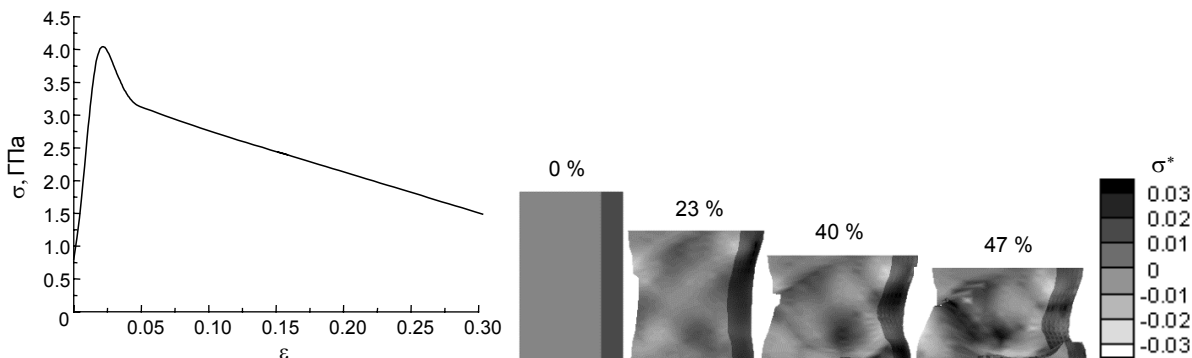


Рис. 1. Макроскопическая деформация и распределение локальных напряжений в прямоугольном образце интерметаллида со сверхструктурой $L1_2$ для различных степеней деформации ($\sigma^* = \sigma_x + \sigma_y + \sigma_z + 2(\tau_{xy} + \tau_{xz} + \tau_{yz}) \cdot 55$ ГПа) при немономтонном упрочнении элемента деформируемой среды

Высокотемпературная деформация чистого металла, упрочнение элементарного объема которого характеризует монотонно возрастающая кривая, протекает однородно, без образования областей избыточного напряжения и полос суперлокализации (рис. 2).

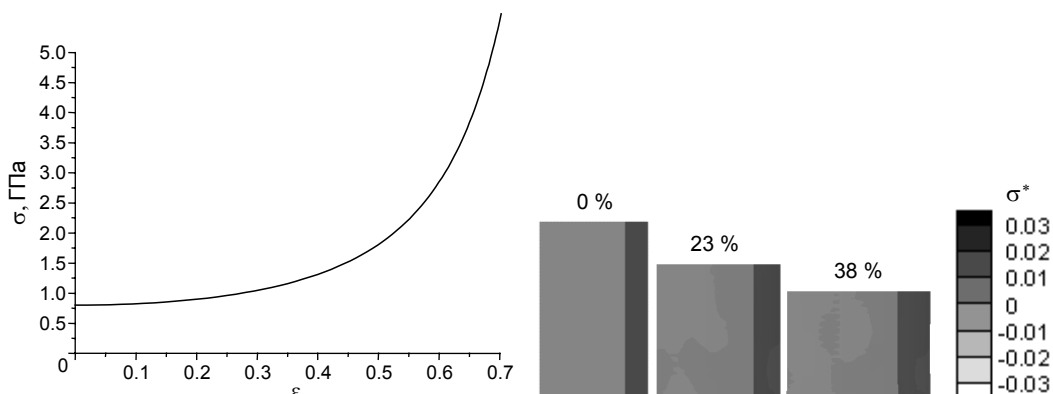


Рис. 2. Макроскопическая деформация и распределение локальных напряжений в прямоугольном металлическом образце для различных степеней деформации ($\sigma^* = \sigma_x + \sigma_y + \sigma_z + 2(\tau_{xy} + \tau_{xz} + \tau_{yz}) \cdot 55$ ГПа) при монотонно возрастающем упрочнении элемента деформируемой среды

Для характеристики деформации образца слоистого композита со слоями, расположенными перпендикулярно оси нагружения, упрочнение части элементов описывалось немономтонной зависимостью (рис. 3, а), как для интерметаллидов со сверхструктурой $L1_2$ (на рис. 3, б обозначены полосами серого цвета). Упрочнение элементов, которые на рис. 3, б обозначены полосами черного цвета, описывалось монотонно возрастающей кривой (рис. 3, а).

Как видно на рис. 3, деформация образца одноосным сжатием сопровождается неоднородностью распределения напряжений по его объему уже при 10 % общей деформации по образцу. При деформации 15 % формируется более деформированная область в виде разбухания в нижней части образца, в которой затем к 27 % начинает формироваться полоса суперлокализации. В отличие от случая высокотемпературной деформации интерметаллида (рис. 1), где наблюдалось множественное развитие полос суперлокализации, в данном случае сформировалась лишь одна полоса.

Если расположить слои параллельно оси нагружения (рис. 4) и упрочнение элементов в каждом слое задать подобно предыдущему случаю, то развитие суперлокализации тоже будет наблю-

даться, но менее выражено, чем при деформации интерметаллида (рис. 1): одна полоса вместо множественной суперлокализации.

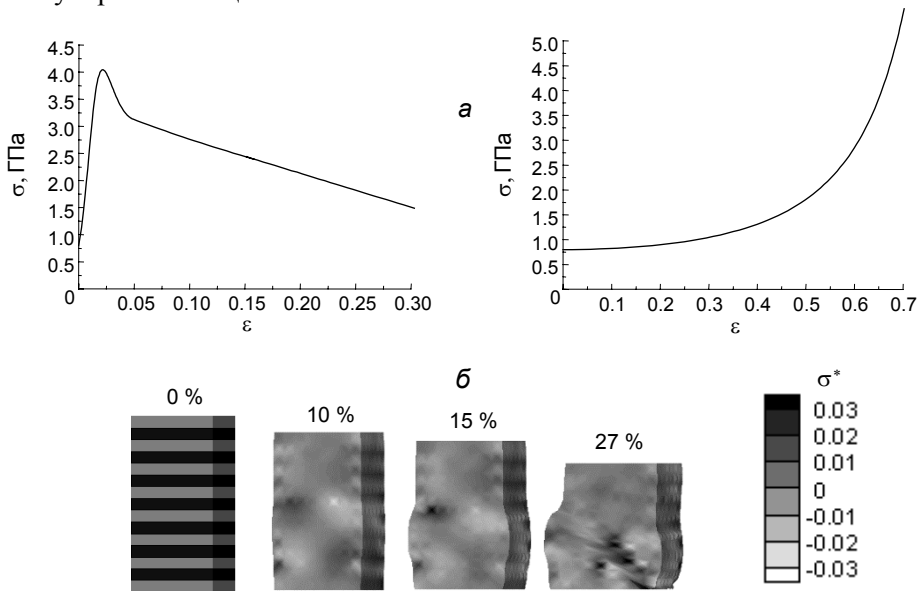


Рис. 3. Кривые упрочнения элемента деформационной среды (а). Распределение напряжений ($\sigma^* = \sigma_x + \sigma_y + \sigma_z + 2(\tau_{xy} + \tau_{xz} + \tau_{yz}) \cdot 55$ ГПа) по деформируемому образцу для различных значений общей деформации при одноосном сжатии гетерофазного материала (для деформации 0 % серыми полосами обозначен интерметаллид со сверхструктурой $L1_2$, черными – металлические слои) (б)

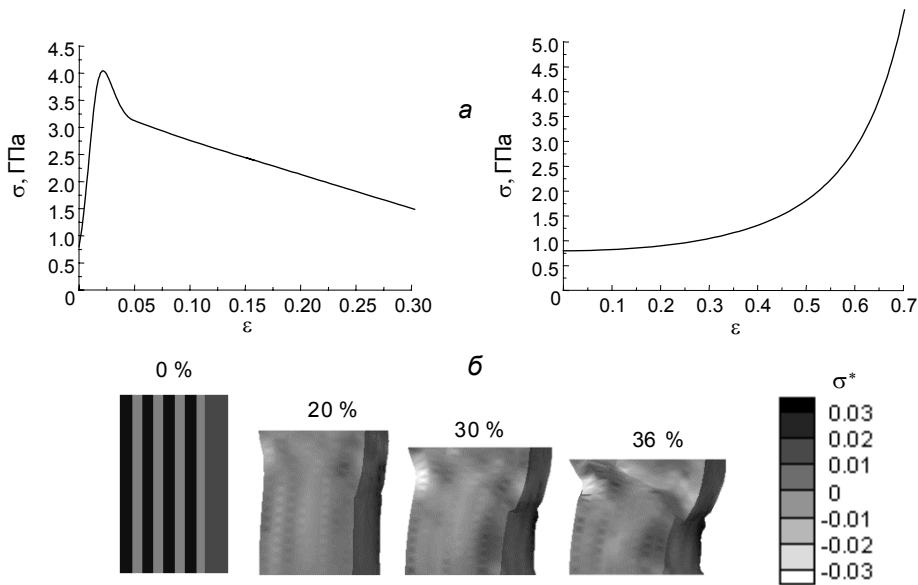


Рис. 4. Кривые упрочнения элемента деформационной среды (а). Распределение напряжений ($\sigma^* = \sigma_x + \sigma_y + \sigma_z + 2(\tau_{xy} + \tau_{xz} + \tau_{yz}) \cdot 55$ ГПа) по деформируемому образцу для различных значений общей деформации при одноосном сжатии гетерофазного материала (для деформации 0 % серыми полосами обозначен интерметаллид со сверхструктурой $L1_2$, черными – металлические слои) (б)

Заключение

Из результатов представленных расчетов можно сделать следующие выводы. В композитных материалах, в которых один слой имеет немонотонную зависимость напряжения течения, возникает макроскопическая неоднородность пластической деформации. Эта неоднородность деформации имеет сходство с деформацией однофазных интерметаллидов, но менее выражена. Включение в однофазный интерметаллид слоев чистого металла частично подавляет развитие полос суперлока-

лизации. Таким образом, создание слоистых структур может быть одним из способов подавления суперлокализации пластической деформации, наблюдаемой в однофазных сплавах со сверхструктурой $L1_2$.

СПИСОК ЛИТЕРАТУРЫ

1. Карпов М.И., Коржков В.П., Желтякова И.С. // *Металловедение и термическая обработка металлов*. – 2016. – № 1(727). – С. 7–10.
2. Коржков В.П., Карпов М.И., Прохоров Д.В. // *Физика и техника высоких давлений*. – 2013. – Т. 23. – № 1. – С. 99–107.
3. Пацелов А.М., Рыбин В.В., Гринберг Б.А., Иванов М.А., Еремина О.В. // *Деформация и разрушение материалов*. – 2010. – № 6. – С. 27–31.
4. Старенченко В.А., Соловьева Ю.В., Фахрутдинова Я.Д., Валуйская Л.А. // *Изв. вузов. Физика*. – 2012. – Т. 55. – № 1. – С. 62–73.
5. Старенченко В.А., Соловьева Ю.В., Старенченко С.В., Ковалевская Т.А. *Термическое и деформационное упрочнение монокристаллов сплавов со сверхструктурой $L1_2$* . – Томск: Изд-во НТЛ, 2006. – 292 с.
6. Старенченко В.А., Соловьева Ю.В., Фахрутдинова Я.Д., Валуйская Л.А. // *Изв. вузов. Физика*. – 2011. – Т. 54. – № 8. – С. 47–57.
7. Югов Н.Т., Белов Н.Н., Югов А.А. Расчет адиабатических нестационарных течений в трехмерной постановке (РАНЕТ-3). Пакет программ для ЭВМ. Федеральная служба по интеллектуальной собственности, патентам и товарным знакам. Свид. о гос. Регистрации программы для ЭВМ № 2010611042, 2010 г.
8. Белов Н.Н., Кабанцев О.В., Копаница Д.Г., Югов Н.Т. *Расчетно-экспериментальный метод анализа динамической прочности элементов железобетонных конструкций*. – Томск: STT, 2008. – 282 с.
9. Старенченко В.А., Валуйская Л.А., Фахрутдинова Я.Д., Соловьева Ю.В., Белов Н.Н. // *Изв. вузов. Физика*. – 2012. – Т. 55. – № 2. – С. 76–87.
10. Соловьева Ю.В., Фахрутдинова Я.Д., Старенченко В.А. // *ФММ*. – 2015. – Т. 116. – № 1. – С. 12–20.
11. Старенченко В.А., Соловьева Ю.В., Липатникова Я.Д. // *Изв. вузов. Физика*. – 2015. – Т. 58. – № 3. – С. 24–30.

¹ Томский государственный архитектурно-строительный университет,
г. Томск, Россия

Поступила в редакцию 23.01.17.

² Национальный исследовательский Томский политехнический университет,
г. Томск, Россия

³ Сибирский государственный медицинский университет, г. Томск, Россия

Липатникова Яна Данияровна, к.ф.-м.н., доцент каф. высшей математики ТГАСУ, доцент междисциплинарной кафедры НИ ТПУ, e-mail: yanna_lip@mail.ru;

Соловьева Юлия Владимировна, д.ф.-м.н., доцент, зав. каф. физики, e-mail: j_sol@mail.ru;

Соловьев Артем Николаевич, аспирант, e-mail: tsk_san@mail;

Валуйская Лариса Анатольевна, к.т.н., доцент каф. физики с курсом высшей математики, e-mail: val_larisa@mail.ru.